

[illegible]

FIG. 1A  
Prior Art

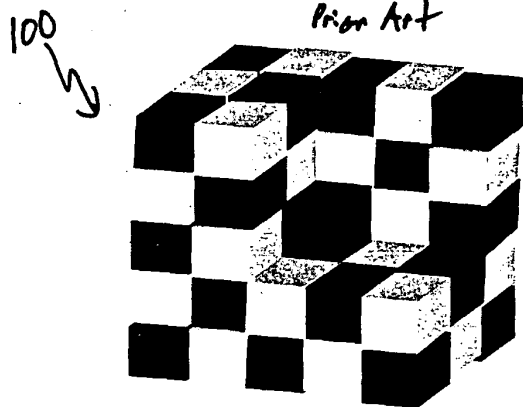


FIG. 1B  
Prior Art

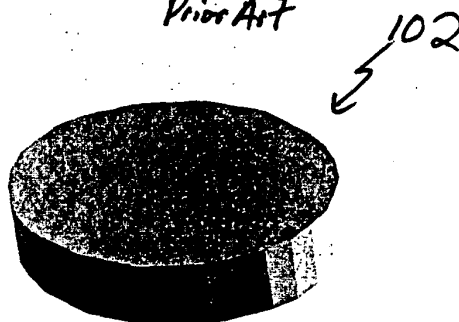


FIG. 1C  
Prior Art

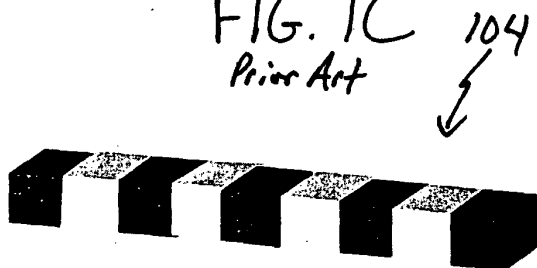


FIG. 1D  
Prior Art

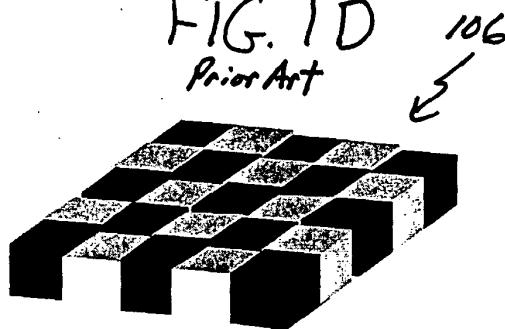


FIG. 2A

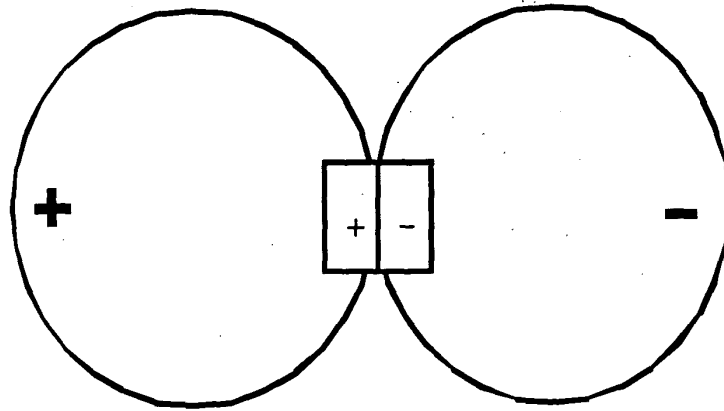


FIG. 2B

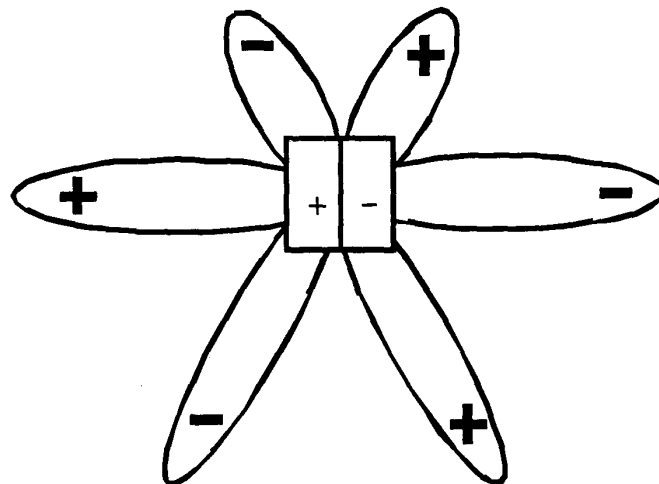


FIG. 3A

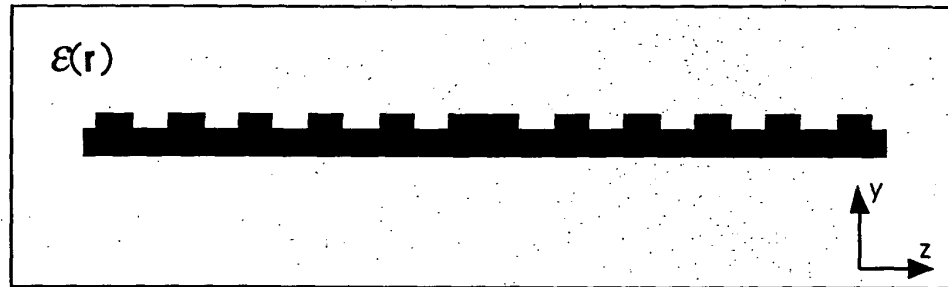


FIG. 3B

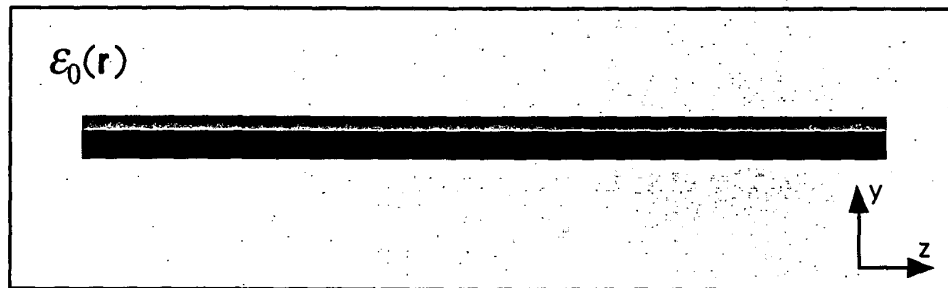
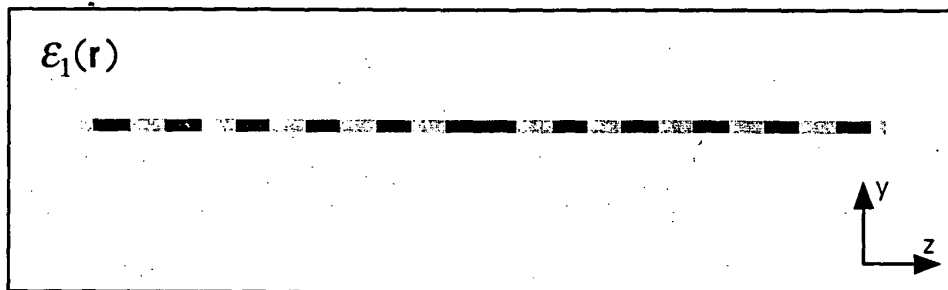


FIG. 3C



TOP SECRET

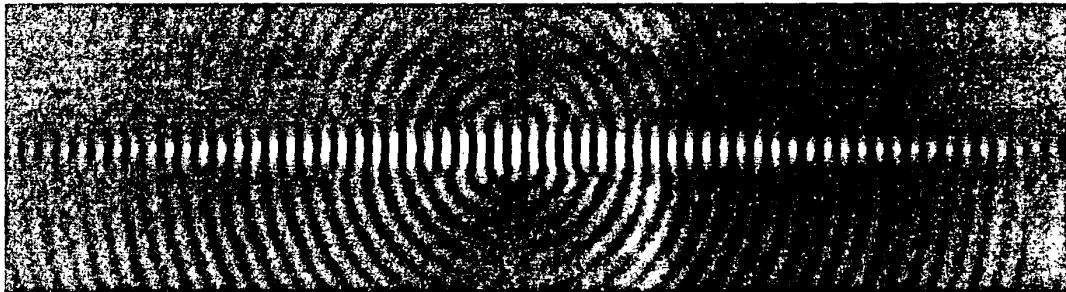


FIG. 4

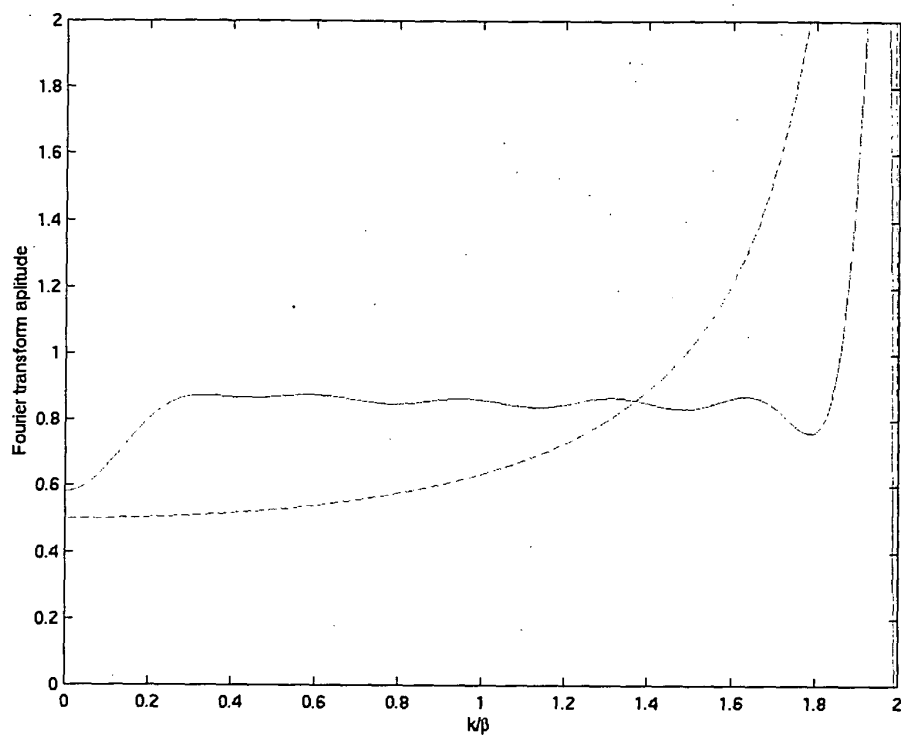


FIG. 5

FIG. 6A

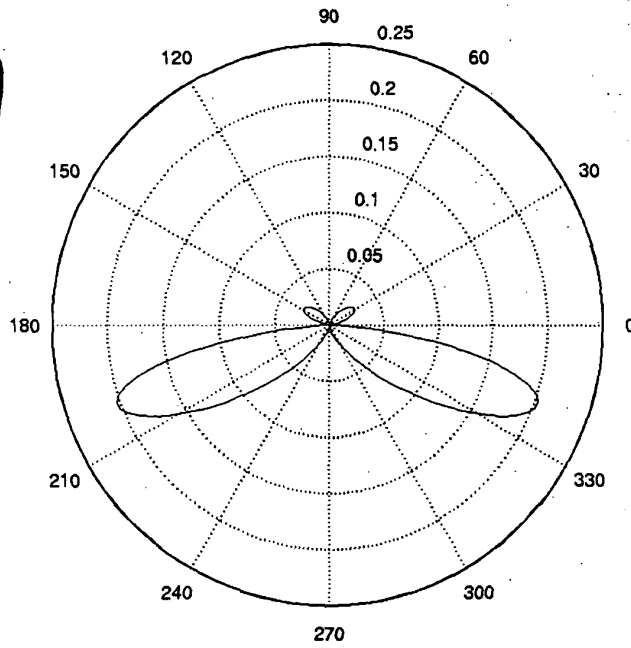


FIG. 6B

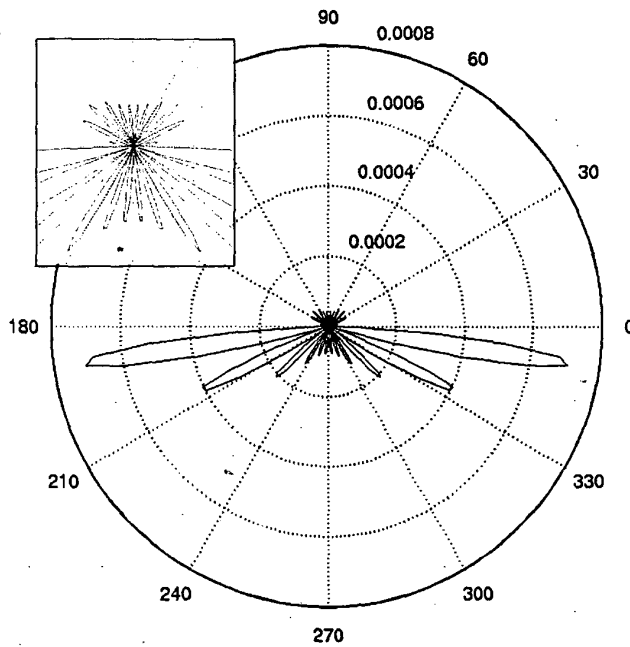


FIG. 7A



FIG. 7B

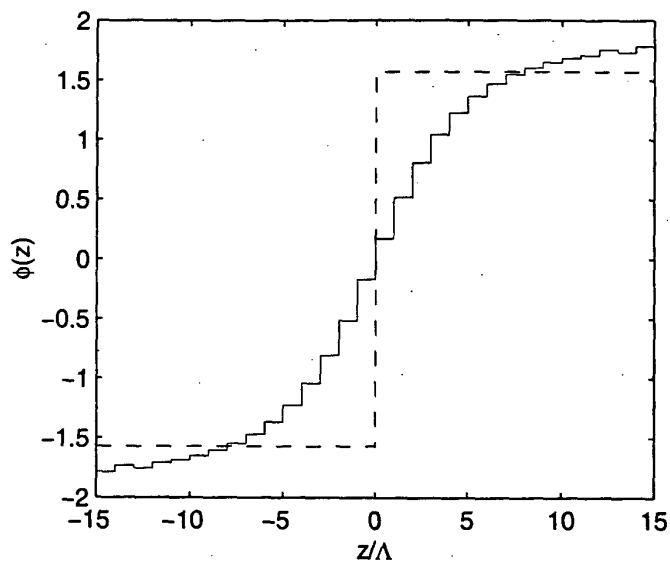


FIG. 7C

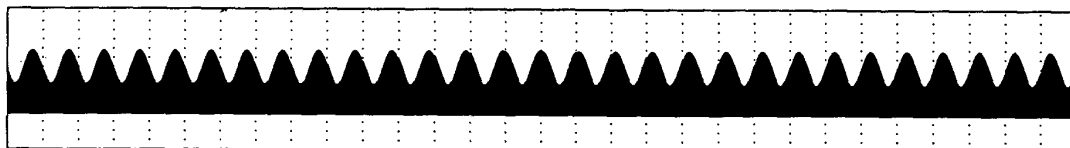


FIG. 8A

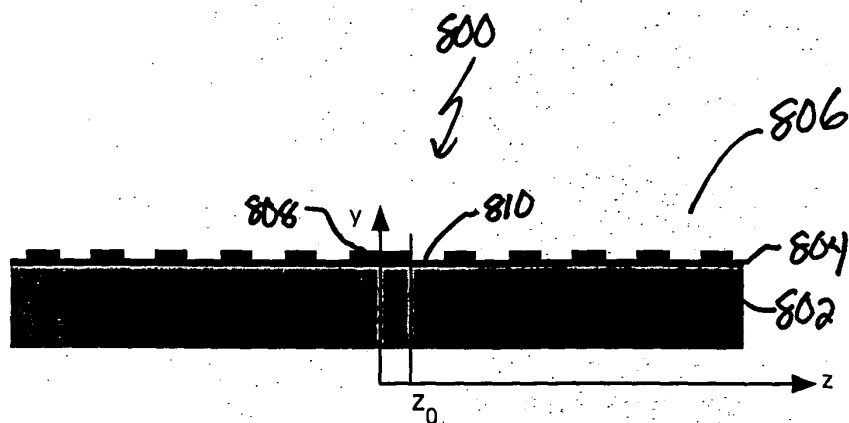
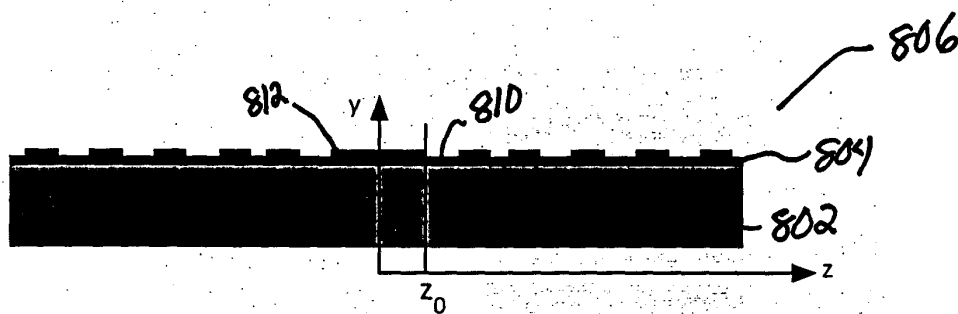


FIG. 8B



800

FIG. 8A



200450 2541800

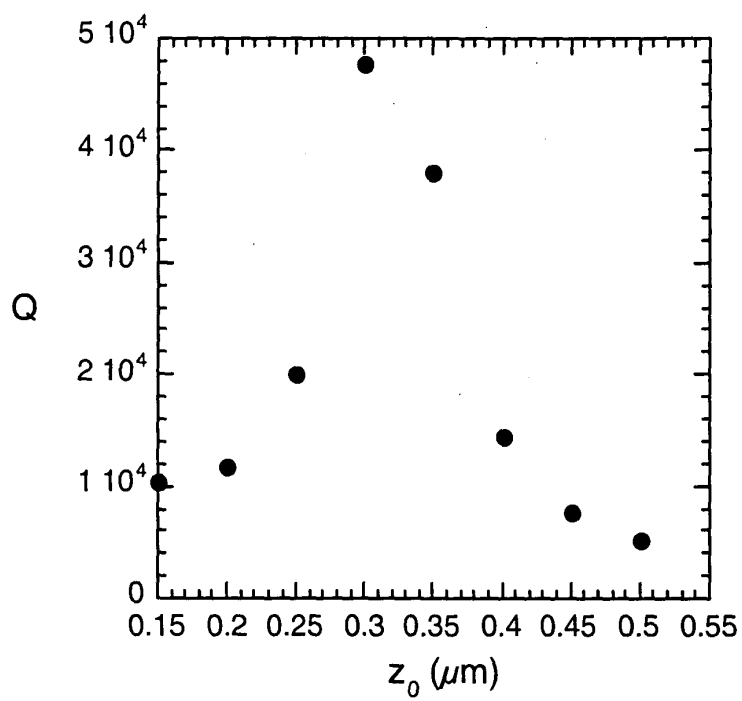


FIG. 9

FIG. 10A

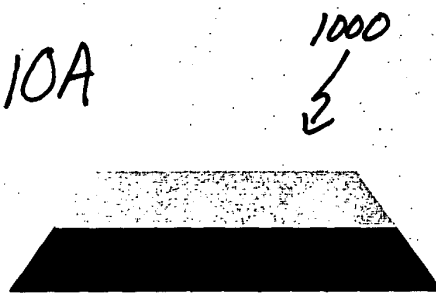
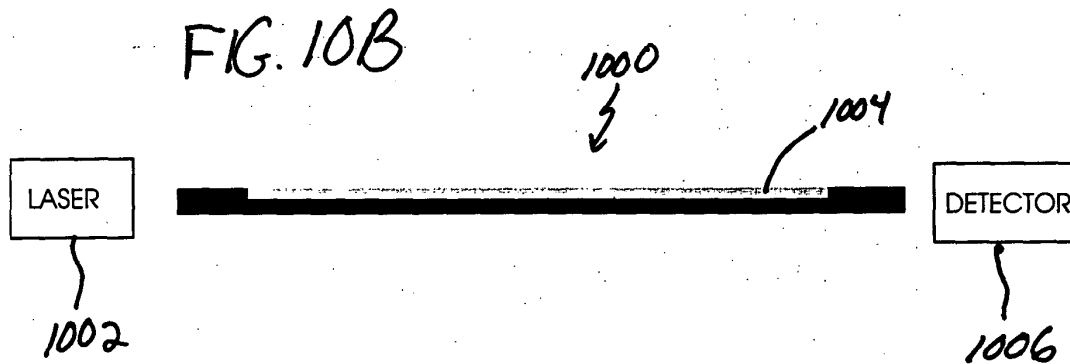


FIG. 10B



2025 RELEASE UNDER E.O. 14176

FIG. 11

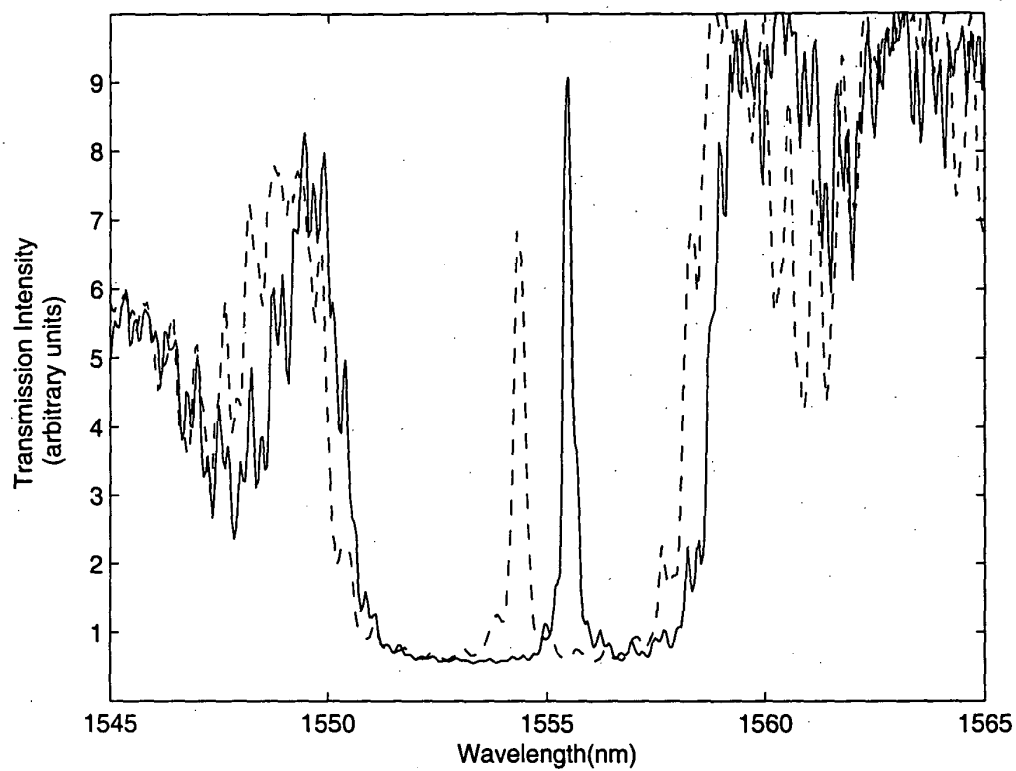


FIG. 11

FIG. 12A

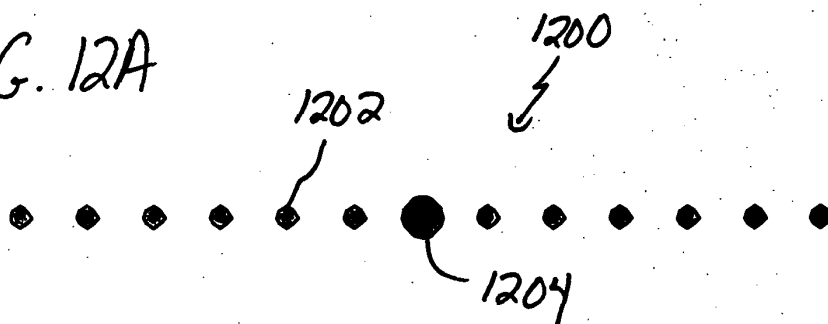


FIG. 12B

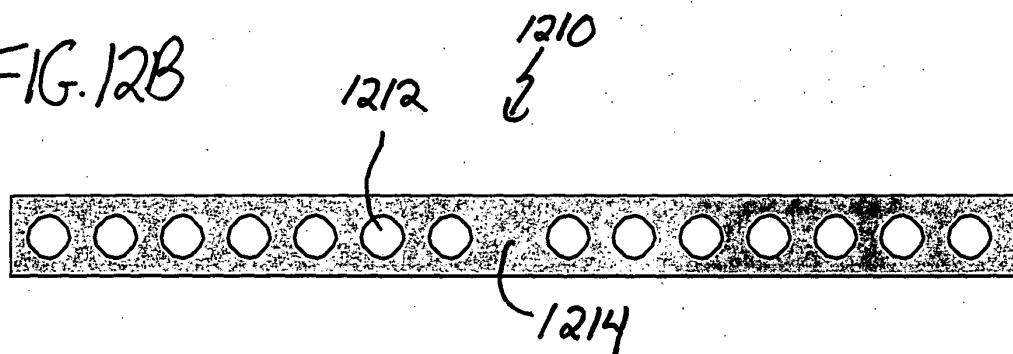


FIG. 12A

00004753-061001

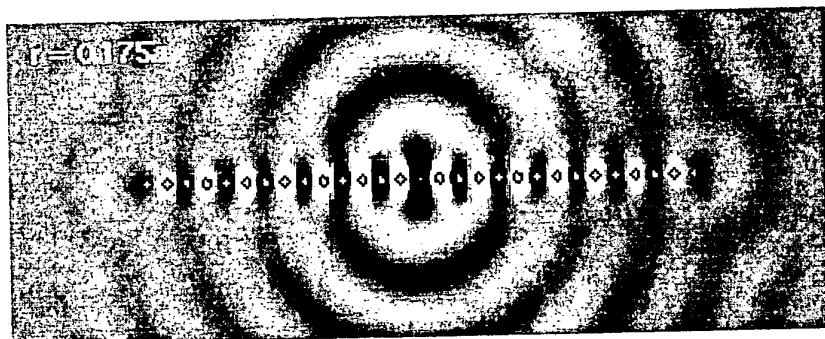


FIG. 13

TOP SECRET E9248560

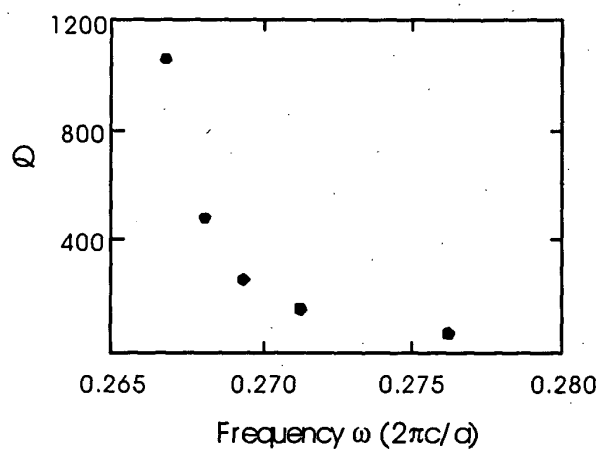


FIG. 14

Defect radius ( $r/a$ )

0.45 0.40 0.35 0.30 0.25

$Q$

$3 \times 10^4$

$2.5 \times 10^4$

$2 \times 10^4$

$1.5 \times 10^4$

$1 \times 10^4$

5000

0

0.26 0.30 0.34 0.38 0.42

Frequency  $\omega(2\pi c/a)$

FIG. 15

FIG. 16A

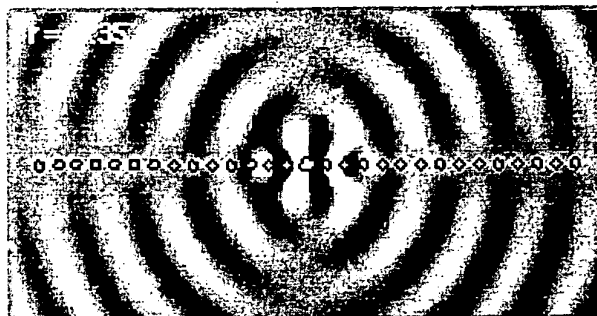


FIG. 16B

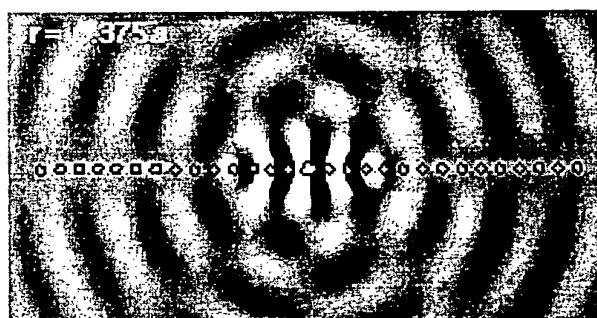


FIG. 16C

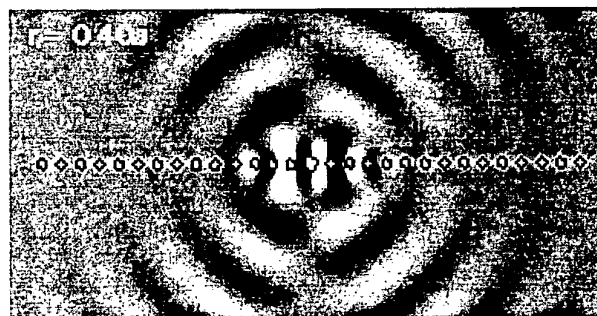




FIG. 17A

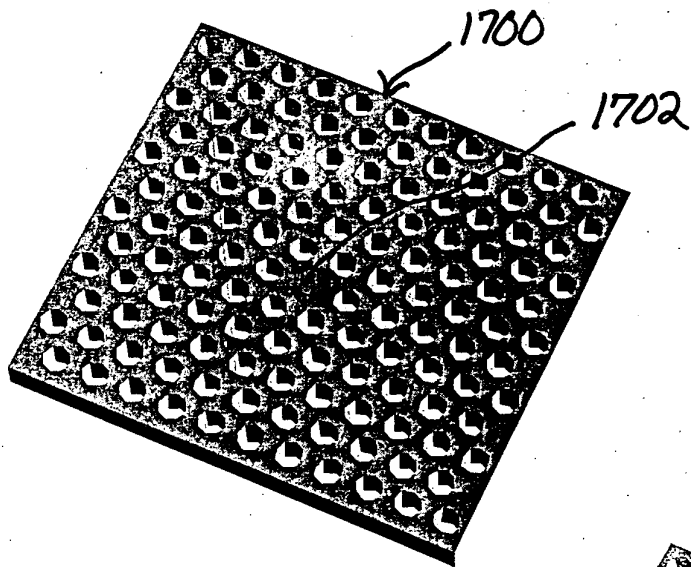


FIG. 17B

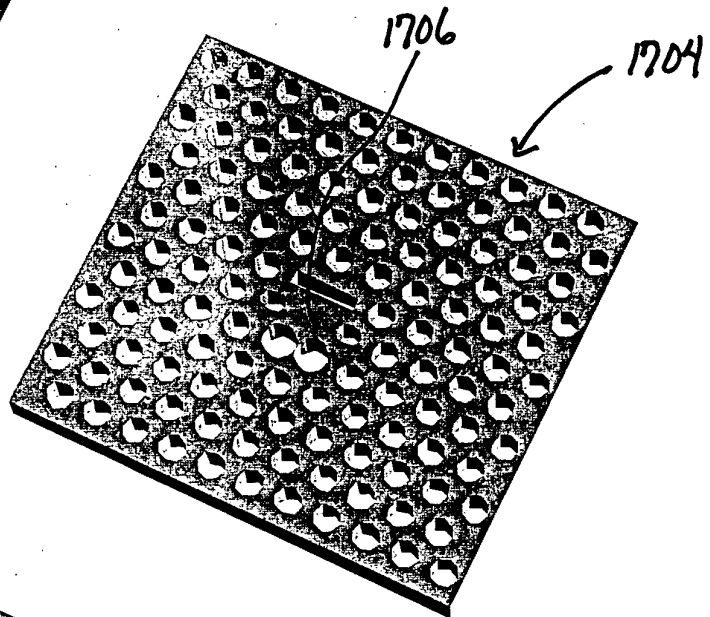


FIG. 17C

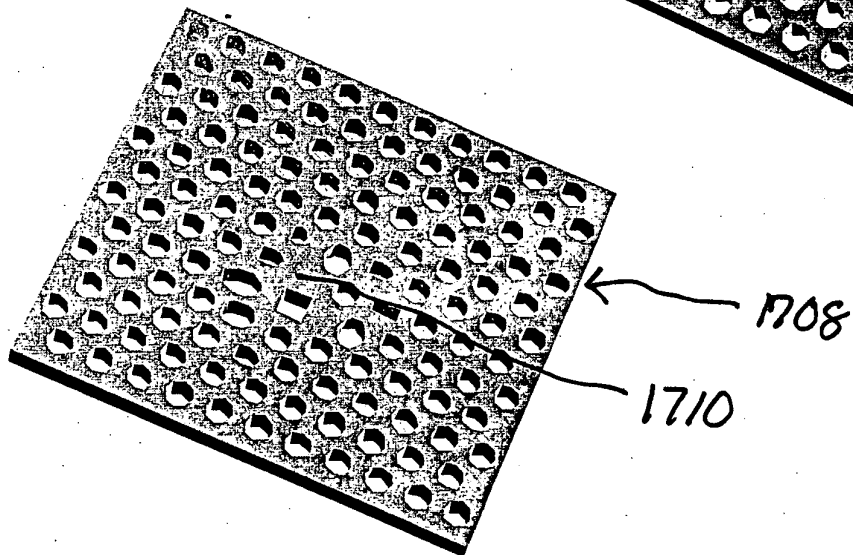


FIG. 18C

FIG. 18A

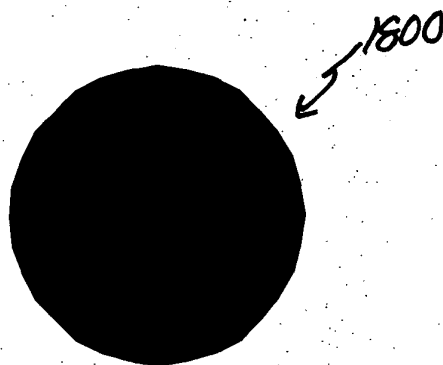


FIG. 18

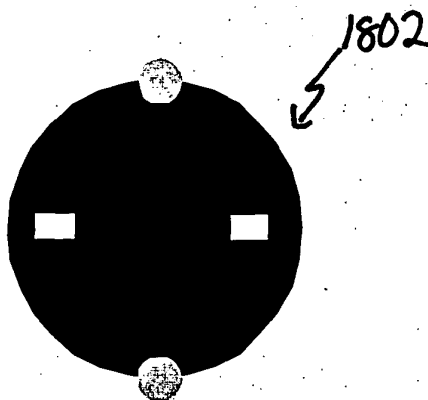


FIG. 18C

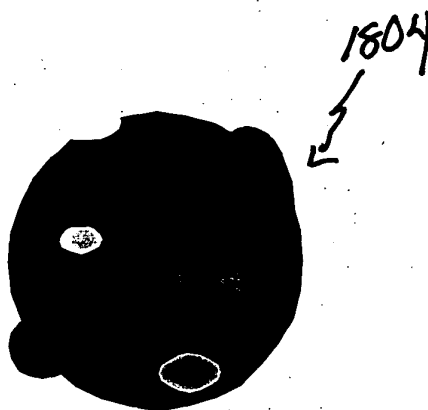


FIG. 19A

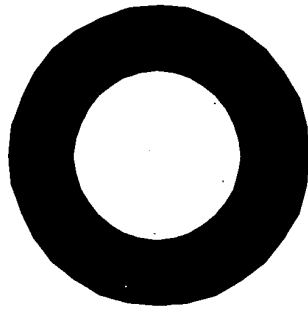


FIG. 19B

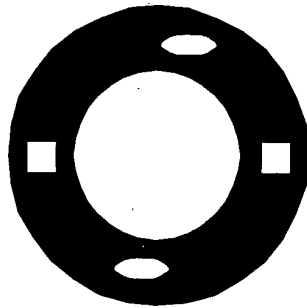


FIG. 19C

